



# تخمین بدون کاف فشارخون مبتنی بر ویژگی‌های زمانی سیگنال نبض

\* مینا شهابی و وحیدرضا نفیسی\*

گروه مهندسی پزشکی، پژوهشکده برق و فناوری اطلاعات، سازمان پژوهش‌های علمی و صنعتی ایران، تهران، ایران

## چکیده

فشارخون به عنوان یکی از علائم حیاتی بدن، نیاز به کنترل متناوب و پیوسته دارد. این ضرورت بهخصوص در شرایط مراقبت ویژه برای بیماران بیشتر احساس می‌شود. در این پژوهش سعی شده است که روشی غیرتهاجمی، بدون استفاده از کاف و بدون نیاز به کالیبراسیون فردی پیشنهاد شود. به این منظور با استفاده از دو حس‌گر نوری بر روی انگشت و مج دست، سیگنال فتوپلتیسموگرافی از بیست داوطلب سالم در شرائط فشارخون مختلف، ثبت شد و سپس بمنظور افزایش دقت تخمین نیز عدم نیاز به کالیبراسیون فردی، علاوه بر زمان گذار نبض، ۱۶ ویژگی زمانی از سیگنال فتوپلتیسموگرافی مج استخراج شد. در نهایت با بررسی تخمین گرهای مختلف، از شبکه عصبی رگرسیون عمومی برای تخمین فشارخون استفاده شد. خطای فشارخون تخمین زده شده توسط این تخمین‌گر، در فشار سیستول  $0.11 \pm 0.18$  میلی‌متر جیوه است.

واژگان کلیدی: مانیتورینگ فشارخون، فتوپلتیسموگرافی، زمان گذار نبض، شبکه عصبی

## Cuff-less Blood Pressure Estimation Based on Temporal Feature of PPG Signal

Mina Shahabi & Vahidreza Nafisi\*

Biomedical group, E&IT department, Iranian Research Organization for Science and Technology (IROST), Tehran, Iran

### Abstract

Blood pressure is one of the vital signs. Specially, it is crucial for some cases such as hypertension patients and it should be monitored continuously in ICU/CCU. It must be noted that current systems to measure blood pressure, often require trained operators. As an example, in post-hospital cares, blood pressure control is difficult except with the presence of a nurse or use of a device that minimizes the patient's involvement in the measurements. In this way, Photoplethysmography (PPG), which is a noninvasive method for pulse wave recording, seems to be ideal to make simple tools for blood pressure measurement in home care. In other words, it is so helpful or rather necessary to design a non-invasive, cuff-less, subject-independent system for blood pressure measurement.

In this study, two optical sensors were located on the finger and the wrist. Twenty healthy volunteers in different situations were examined to record PPG signals. Also, blood pressure values were measured by cuff-based noninvasive blood pressure system on left arm as a reference value. Recorded signals were filtered and processed in MATLAB R2014a software. To promote the estimation accuracy and subject-independency, 16 temporal features in addition to the pulse transit time (PTT) were extracted from the wrist PPG signal. To estimate blood pressure values, three neural networks were used as the estimator: Feedforward Neural Network (FFN), Radial Basis Function Neural Network (RBFN) and General Regression Neural Network

\* Corresponding author

\* نویسنده عهدهدار مکاتبات

(GRNN). After comparison of their results; the General Regression Neural Network was used for blood pressure estimation. The MSE errors estimated by the best estimator, were  $0.11 \pm 1.18$  mmHg and  $0.15 \pm 2.3$  mmHg for systole and diastole pressure respectively.

**Keywords:** Blood Pressure Monitoring, Photoplethysmography (PPG), Pulse Transit Time (PTT), Neural Network

تخمین فشارخون مناسب‌تر بوده و نتایج دقیق‌تری فراهم کرده است. در این پژوهش فشارخون فرد با کمک PTT با میانگین خطای  $1.594 \pm 4.013$  میلی متر جیوه در فشار سیستولی و  $1.399 \pm 1.568$  میلی متر جیوه در فشار دیاستولی تخمین زده شده است که استانداردهای لازم برای تخمین فشارخون با روش غیرتاجمی را تأمین می‌کند.

در مطالعه دیگری که در سال ۲۰۱۴ توسط یونسی هروی و همکاران انجام گرفته از دو حس‌گر نوری با فاصله ۵۵ میلی‌متر برای ثبت دو سیگنال PPG و محاسبه مقدار PTT برای تخمین فشارخون از پانزده داوطلب سالم (ده مرد) استفاده شده است. در این پژوهش رابطه بین مقادیر PTT و فشارخون به صورت خطی در نظر گرفته شده و در مدل نهایی با کمک الگوریتم رگرسیون خطی مقادیر فشارخون تخمین زده شده است. پارامترهای معادله رگرسیون، پارامترهای وابسته به فرد هستند که برای هر فرد و با قرارگرفتن در شرایط فیزیولوژیک مختلف از جمله وزش و استراحت محاسبه می‌شوند. از فشارسنج دیجیتال کافدار در بازوی چپ فرد برای مقایسه نتایج نهایی استفاده شده است. بیشترین خطا در تخمین فشارخون سیستول و دیاستول در این مطالعه به ترتیب  $7.98 \pm 2.88$  mmHg و  $10.13 \pm 3.82$  mmHg ذکر شده است [5]. اطلاعات دقیقی از محل نصب دو حس‌گر نوری در این مطالعه ارائه نشده است.

مک کومبی<sup>۴</sup> در سال ۲۰۰۶ با ثبت دو سیگنال PPG بر روی انگشت و مچ دست از داوطلب، رابطه بین سرعت حرکت خون(PWV)<sup>۵</sup> و فشارخون را تعیین کرده است. در این مطالعه زاویه بین مچ دست و انگشتان نسبت به هم تعییر کرده و سیگنال‌های PPG در سه حالت مختلف ثبت می‌شوند. مک کومبی عامل تعییر سرعت حرکت خون در این دو حالت را فشار هیدرولیک می‌داند. به این ترتیب با محاسبه اختلاف فشار ایجاد شده رابطه بین فشارخون و سرعت حرکت خون را به دست می‌آورد. لازم به ذکر است پارامتر PWV با پارامتر PTT نسبت عکس دارد و روش این پژوهش نیز درواقع همان

## ۱- مقدمه

با توجه به اهمیت کنترل پیوسته و مداوم فشارخون و عوارض برخی بیماری‌ها از جمله پرفشاری، وجود وسیله‌ای با کاربری آسان و درصورت امکان بدون استفاده از کاف برای اندازه‌گیری فشارخون در فواصل زمانی نزدیک به هم (و حتی پیوسته) ضروری است. در این پژوهش با استفاده از روش فتوپلیسموگرافی<sup>۱</sup> (PPG)، دستگاهی برای اندازه‌گیری فشارخون طراحی و ساخته شده است. فتوپلیسموگراف یک ابزار حجم‌سنجی نوری است که نور را به قسمتی از بدن می‌تاباند و تغییرات نور جذب شده را اندازه می‌گیرد [1,2]. علت استفاده از سیگنال PPG در این پژوهش، هزینه اندک، کاربری آسان، سخت‌افزار کم حجم و عدم نیاز به کاف است و هدف ما در این پژوهش تأمین دقت مناسب برای این روش (طبق استانداردهای بین‌المللی) در مقایسه با سایر روش‌های غیر تهاجمی با استفاده از استخراج و شناسایی ویژگی‌های مؤثر از سیگنال فتوپلیسموگرافی است.

مطالعات انجام‌شده در این زمینه نشان داده است که استفاده از سیگنال فتوپلیسموگرافی و سیگنال ECG برای اندازه‌گیری زمان رسیدن پالس نبض از قلب به یک نقطه مشخص<sup>۲</sup> (PAT)، و در برخی روش‌ها استفاده از دو سیگنال PPG و محاسبه زمان گذار نبض (PTT)<sup>۳</sup> به تخمین مقادیر فشارخون می‌تواند منجر شود [3].

در همین زمینه کمال‌زاده مطالعه مشابهی در سال ۲۰۱۶ انجام داده است [4]. در این پژوهش از افراد بخش مراقبت‌های ویژه، سیگنال PPG دوتایی (در لاله گوش و انگشت شست پا) و نیز سیگنال ECG ثبت شده است. فشارخون فرد در یک حالت با محاسبه PAT با کمک یک سیگنال PPG و سیگنال ECG و در حالت دیگر با محاسبه PTT با کمک دو حس‌گر PPG، تخمین زده شده و با مقادیر فشارخون پیوسته تهاجمی مقایسه شده است. این مطالعه نشان داده است که روش PTT نسبت به روش PAT برای

<sup>1</sup> Photoplethysmography (PPG)

<sup>2</sup> Pulse Arrival Time (PAT)

<sup>3</sup> Pulse Transit Time (PTT)



<sup>4</sup> McCombie

<sup>5</sup> Pulse Wave velocity (PWV)

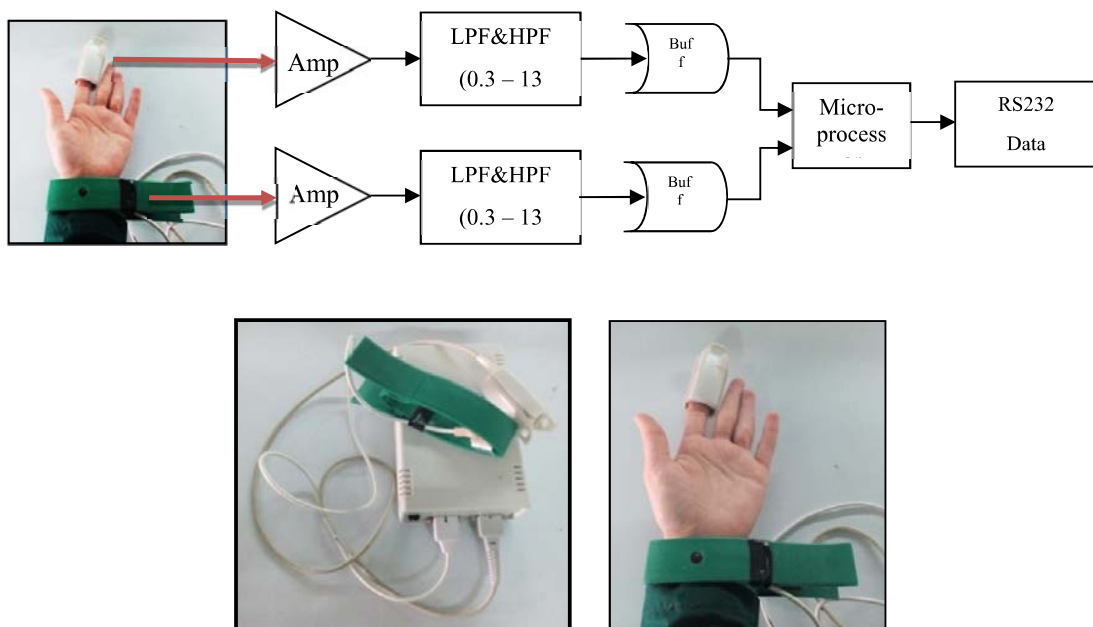
این پژوهش با هدف ساخت دستگاهی برای اندازه‌گیری پیوسته فشارخون غیرتهاجمی و بدون کاف، بر روی بیست داوطلب (هشت مرد و دوازده زن) در محدوده سنی ( $31.5 \pm 7$ ) [7] انجام شده است. با توجه به روش انتخابی (تخمین پارامتر PTT از سیگنال نبض)، سخت‌افزار مناسب بهنحوی طراحی شد که امکان ثبت همزمان دو سیگنال PPG از انگشت اشاره و مج دست فراهم شود. برای ثبت سیگنال توسط پروب‌ها از فرستنده و گیرنده مادون قرمز مدل (NELLCOR,AFL 268) استفاده شده است. که طول موج دقیق و کاربری پذشکی دارد، استفاده شده است. همچنین استفاده از گیره در قسمت مج دست با اعمال فشار محدود، امکان ثبت سیگنال قوى را در افرادی که نبض مج دست آنها در عمق عضله حس می‌شود، فراهم می‌کند [9]. در ادامه، تغییرات جریان گیرنده نوری توسط یک طبقه تقویت کننده مبدل جریان به ولتاژ و یک طبقه تقویت کننده ولتاژی تقویت و فیلتر شده است. لازم به توضیح است که برای تأمین همزمانی دو سیگنال، کلیه قطعات مورد استفاده در مسیر تقویت سیگنال‌های مج و انگشت به طور کامل مشابه انتخاب شد و سیگنال تقویت شده به یک میکروپروسسور فرستاده شد. شکل (۱) شمای کلی سخت‌افزار طراحی شده، نمای بیرونی دستگاه و پروب‌های مورد استفاده را نمایش می‌دهد.

روش محاسبه پارامتر PTT است [6]. در مطالعه دیگری از ویژگی‌های سیگنال PPG سر انگشت (برای هر بازه پنج دقیقه‌ای ثبت شده از سیگنال PPG)، برای پیش‌بینی افت فشارخون در حین همودیالیز استفاده شد و بازه‌هایی از سیگنال PPG که معادل با وقوع افت فشارخون در بیمار هستند از بازه‌های طبیعی با دقت ۹۵ درصد تفکیک شدند [7].

علاوه بر پژوهش‌های نامبرده با موضوع اندازه‌گیری غیر تهاجمی فشارخون، از همین روش برای سنجش میزان خون‌رسانی بافت در یک محل خاص از بدن نیز استفاده شده است [8].

در پژوهش حاضر، شریان مج دست با داشتن نبض قوى به عنوان محل نصب حس‌گر نخست ثبت سیگنال PPG و امتداد این شریان در انگشت اشاره به عنوان محل نصب حس‌گر دوم انتخاب شد؛ سپس با بررسی سیگنال‌های ثبت شده در حوزه زمان، ویژگی‌های متعددی از سیگنال PPG فرد استخراج شد (علاوه بر پارامتر PTT). در این مطالعه از این ویژگی‌ها با هدف بهبود دقت روش PPG دوتایی و نیز ساخت دستگاه نوری بدون نیاز به کالیبراسیون فردی برای تخمین فشارخون استفاده شده است.

## ۲- مواد و روش‌ها



(شکل-۱): a) Block diagram of designed hardware for recording PPG signal in 2 places. b) Designed System and probes.

(Figure-1): a) Block diagram of designed hardware for recording PPG signal in 2 places. b) Designed System and probes.

قسمت‌های مخدوش از سه دقیقه سیگنال ثبت شده، در نرم‌افزار متلب از فیلتر با تورث مرتبه سه با فرکانس قطع ۵ هرتز بر روی سیگنال اصلی استفاده کردیم. پس از آن برای حذف اعوجاج بیس لاین، سیگنال PPG توسط تبدیل ویولت گستته باتابع Meyer به یازده سطح تجزیه شد.

با درنظر گرفتن فرکانس نمونه‌برداری پانصد هرتز، ضرایب تخمین<sup>۱</sup> یازدهم (a11) از تجزیه سیگنال در ویولت که باند فرکانسی آن کمتر از ۰.۳ هرتز است، تقریب مناسبی از بیس لاین سیگنال است. با صفرشدن ضرایب a11 در سیگنال اصلی اثر اغتشاش حرکتی و تنفسی فرد، کاهش می‌یابد [10].

### ۳-۲- استخراج ویژگی

دو بازه مهم در یک سیکل از سیگنال PPG مربوط به فاز سیستول (پمپاژ خون) و فاز دیاستول (استراحت بطنی) است. برای تخمین پارامتر PTT باید اختلاف زمانی پیک سیستول PPG مج دست و پیک سیستول سیگنال PPG انگشت را محاسبه کنیم. در همین رابطه مطالعات فراوانی در سال‌های اخیر انجام شده است [11,12]. بر اساس مطالعات مشابه بهترین شیوه برای محاسبه این اختلاف زمانی بررسی سیکل به سیکل هر دو سیگنال PPG است. با توجه به سرعت حرکت خون در بستر مویرگی بدن و همچنین نتایج تجربی، مشاهده می‌شود که در حالت قرارگیری حس گرها در انگشت و مج دست، ۲۰ تا ۳۰ میلی ثانیه پس از رسیدن پالس خون به حس گر نخست (مج)، همان پالس در حس گر دوم (انگشت) مشاهده می‌شود. بنابراین هر سیکل در سیگنال PPG مج، متناظر با سیکل مشخصی در سیگنال PPG انگشت است. روند محاسبه PTT شامل شناسایی سیکل‌های مشابه و محاسبه فاصله زمانی پیک سیستول آنها است. برای کاهش خطا در تشخیص سیکل، ابتدا نقاط شروع سیکل‌ها مشخص و سپس اختلاف زمانی بین پیک‌های سیستول محاسبه می‌شود.

در هنگام مشخص کردن نقاط ابتدای هر سیکل در صورتی که از توابع آشکارساز پیک بر روی سیگنال اصلی استفاده کنیم با توجه به وجود پیک دیاستول، خطا زیاد خواهد بود و تعداد پیک‌های استخراجی از سیگنال انگشت و مج اختلاف زیادی خواهد داشت. برای رفع این مشکل از تبدیل ویولت سیگنال PPG و زیر باندهای فرکانس بالا<sup>۲</sup> در سطوح ۸ و ۹ (d8, d9) استفاده شد. این زیرباندها، در محدوده فرکانسی ۱,۹ تا ۴ هرتز قرار دارند که همان محدوده اصلی

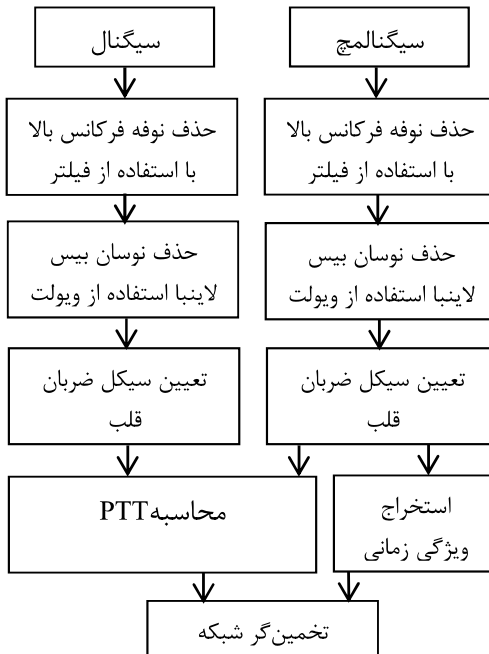
<sup>۱</sup> Approximation

<sup>۲</sup> Detail

سیگنال‌های ثبت شده همزمان از طریق پورت سریال به رایانه فرستاده می‌شوند. نرخ نمونه‌برداری از سیگنال با کمک مبدل آنالوگ به دیجیتال میکروپروسسور پانصد هرتز تعیین شد.

رونده ثبت سیگنال PPG با استفاده از دستگاه طراحی شده به دو بخش نشسته و ایستاده تقسیم می‌شود. در هر حالت بلافضله پس از بازه ثبت سیگنال فشارخون فرد با کمک دستگاه فشارسنج دیجیتال بازویی مدل Burer، بر روی بازوی چپ اندازه‌گیری شد. در مجموع از هر داوطلب چهار بازه سه دقیقه‌ای سیگنال PPG (دو بازه در حالت نشسته و دو بازه در حالت ایستاده) و چهار مقدار فشارخون به عنوان فشارخون معادل هر بازه ثبت می‌شود.

در ادامه با کمک نرم‌افزار MATLAB R2014a مراحل مختلف پردازش و استخراج ویژگی از سیگنال‌های ثبت شده انجام گرفت که در بخش‌های (۲-۲) و (۳-۲) توضیح داده خواهد شد. الگوریتم مربوط به مراحل پردازش سیگنال و استخراج ویژگی در شکل (۲) نشان داده شده است.



(شکل-۲): الگوریتم مراحل پردازش سیگنال و استخراج ویژگی  
(Figure-2): Signal processing and feature extraction algorithm

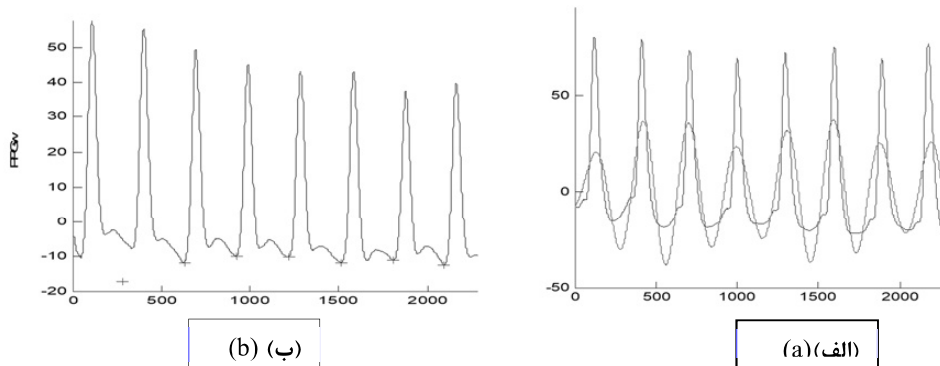
### ۳-۲- پردازش سیگنال و حذف نویه

پس از انتقال سیگنال به رایانه با کمک درگاه سریال، داده‌های ثبت شده در نرم‌افزار MATLAB R2014a مورد بررسی قرار گرفت. محدوده فرکانسی مطلوب در سیگنال PPG باند فرکانسی ۰/۵ تا ۸ هرتز است. به همین علت پس از حذف

دچار اغتشاشات حرکتی می‌شد؛ بدین ترتیب ما به‌ازای هر سیکل ضربان قلب هفده ویژگی به‌دست آوردیم. برای مشاهده تغییرات پارامترها در سیکل‌های مختلف (در بازه‌های سه دقیقه‌ای ثبت سیگنال)، از روش دسته‌بندی و انتخاب شاخص دسته استفاده شد. به این ترتیب که مقادیر به‌دست آمده برای هر پارامتر مشخص را یک دسته در نظر گرفته و با کمک روش میانگین پیرایش شده<sup>۱</sup>، پنج درصد از بزرگترین و کوچکترین مقادیر در هر دسته حذف شد؛ سپس پنج ویژگی آماری شامل دامنه تغییرات (R)، میانگین (Mn)، انحراف متوسط از میانگین (MAD)، ضریب تغییرات (CV) و چولگی<sup>۲</sup> (Sk) به نمایندگی از دسته مورد نظر محاسبه شد.

فرکانس نبض و هارمونیک‌های آن است و اثرباره فرکانس بالا و پایین در آن دیده نمی‌شود. به این ترتیب با پیدا کردن نقاط کمینه محلی در d8، نقاط کمینه در سیگنال اصلی و به عبارتی نقاط ابتدای هر سیکل مشخص می‌شود (شکل(۳) ب). در صد خطای این روش در مقایسه با روش استفاده از توابع تشخیص پیک، بسیار کمتر است؛ درنتیجه امکان ازدست‌رفتن سیکل‌های متناظر کمتر خواهد بود.

پس از مشخص کردن سیکل‌های متناظر و محاسبه پارامتر PTT، شانزده پارامتر زمانی دیگر از سیگنال مج دست استخراج شد (شکل (۴)). در جدول (۱) شرحی بر این پارامترها آمده است. علت استخراج ویژگی از سیگنال مج دست این بود که این سیگنال نسبت به سیگنال انگشت کمتر



(شکل-۳): (الف) سیگنال بازسازی شده از ضرایب فرکانس بالای سطح هشتم تبدیل ویولت PPG (سیگنال d8). نقاط کمینه d8 و سیگنال PPG اصلی با تقریب مناسبی برهمنطبق هستند. (ب) نقاط کمینه که با استفاده از d8 مکان یابی و بر روی سیگنال اصلی با + نمایش داده شده‌اند.

(Figure-3): a) 8th detail coefficients signal (d8), computed from PPG signal wavelet decomposition. This figure demonstrated that, minimum points of d8 signal and main PPG signal are the same. b) Minimum points were found in d8 signal and then located on main PPG signal, which is marked with +.

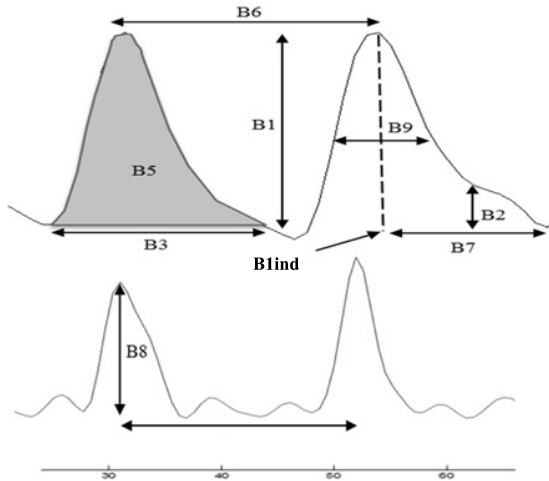
جدول-۱): عناوین و تعاریف ویژگی‌های استخراج شده از سیگنال PPG

(Table-1): Definition of extracted features from PPG signal

ویژگی	تعریف	ویژگی	تعریف	ویژگی
B1	دامنه پیک سیستول	B9	عرض پالس در ½ دامنه پیک سیستول در یک سیکل	
B2	دامنه نقطه خمیدگی	B10	نسبت دامنه پیک سیستول به دامنه دیکروتیک ناج	
B3	عرض سیکل	b1i	محل پیک سیستول در کل سیگنال	
B4	عرض مشتق اول سیکل	B1ind	محل پیک سیستول در یک سیکل	
B5	مساحت سیکل	B2ind	محل نقطه خمیدگی در یک سیکل	
B6	فاصله بین دو پیک سیستول متوالی (m/s)	PWV		
B7	فاصله بین پیک سیستول و انتهای سیکل	SI	ضریب سفتی عروق که حاصل تقسیم قد داطلب بر زمان گذار نبض است.	
B8	Vascular Res.	PTT	زمان گذار نبض	تفاوت دامنه ماکزیمم و مینیمم در مشتق اول سیکل
	VasRes = Ssys/Sdia			مقاومت سیستم عروقی که معادل نسبت مساحت در بخش سیستول به مساحت در بخش دیاستول در یک سیکل مشخص است.

<sup>1</sup> Trimmed Mean

<sup>2</sup> Skewness



(شکل-۴): سیگنال PPG و مشتق نخست آن در این پژوهش. B1 تا B9 پارامترهای تعریف شده در هر سیکل هستند.

(Figure-4): PPG signal and the first derivative of it in this research. B1 – B9 are extracted features from each cycle

انتخاب الگوریتم های متفاوت برای آموزش شبکه استفاده شد. علاوه بر آن برای کاهش اثر حالت تصادفی در تخمین خروجی شبکه که به دلیل انتخاب وزن تصادفی شکل می گیرد، از یک حلقه بیست تایی برای اجرای شبکه استفاده شده است و درنهایت خطای به دست آمده برای هر حالت، میانگین خطای این بیست اجرا است. در این شبکه عصبی با تغییر الگوریتم آموزش شبکه، نتایج متفاوتی به دست آمد. درنهایت تابع آموزش گرادیان نزولی با استفاده از مومنتوم و یادگیری انطباقی کمترین مقدار خطا (MSE) مطابق با میانگین و انحراف معیار استاندارد AAMI SP10 را داشته است. این استاندارد، استاندارد اختصاصی بررسی صحت کارکرد دستگاه های اندازه گیری فشارخون غیر تهاجمی است. بهترین نتیجه حاصل از شبکه عصبی پیش رو در قسمت نتایج در جدول (۲) گزارش شده است.

#### ۴-۲- تخمین فشارخون با استفاده از شبکه عصبی مصنوعی

یکی از روش های کارآمد در حل مسائل پیچیده، استفاده از شبکه عصبی است. شبکه های عصبی با توانایی قابل توجه خود در استنتاج نتایج از داده ها در استخراج و شناسایی الگوهای پیچیده و غیرخطی می توانند استفاده شوند. در این پژوهش پس از استخراج ویژگی و نرمال سازی ماتریس ویژگی ها، این ماتریس به عنوان ورودی شبکه عصبی و مقادیر فشارخون اندازه گیری شده به عنوان خروجی مطلوب شبکه عصبی در نظر گرفته شده اند. یکی از شبکه های عصبی معمول و پراستفاده، شبکه عصبی پیش رو است که ما در این پژوهش از آن به عنوان یک مرجع مقایسه استفاده کردیم. به این منظور یک شبکه عصبی پیش رو با دو لایه پنهان با تعداد نرون ۱۰ و ۵ و با

(جدول-۲): مقایسه بهترین نتایج به دست آمده از سه شبکه عصبی پیش رو، شعاعی و رگرسیون عمومی.

(Table-2): Comparison between the best results, obtained from Feedforward Neural Network, RBF Neural Network and General Regression Neural Network (GRNN).

	Spread	MSE (%)	Systole Pressure Error (mm Hg)		Diastole Pressure Error (mm Hg)	
			Mean	STD	Mean	STD
Feed Forward	-	1.6	6.4	0.89	6.4	0.25
RBF	2.3	0.15	1.18	0.11	0.06	0.55
GRNN	0.55	0.06	0.11	1.18	0.15	2.3

جدیدی مورد بررسی قرار گیرد. به این دلیل (و همچنین برای جبران کمبودن حجم دادگان) از روش K-Fold Cross Validation در آموزش شبکه‌های RBF و GRNN استفاده کردیم. در این روش کل داده‌ها به  $k$  قسمت مساوی تقسیم می‌شوند و تعداد  $k-1$  قسمت به عنوان داده آموزش و یک قسمت به عنوان داده آزمون در نظر گرفته می‌شود. این فرآیند  $k$  بار تکرار می‌شود و هر بار یکی از دسته‌ها به عنوان داده آزمون استفاده می‌شود.

در این پژوهش با احتساب ثبت چهار بازه سیگنال برای هر فرد و داشتن دادگان بیست داوطلب، در مجموع هشتاد بازه ثبت شده سیگنال PPG به دست آمد. بنابراین در عمل در هر مرحله K-Fold Cross Validation داده‌های چند داوطلب به طور کامل (به عنوان مجموعه آزمون) از مرحله آموزش تخمین‌گرها کنار گذاشته می‌شود. به عنوان مثال با در نظر گرفتن  $10 = k$ -Fold، داده‌های دو داوطلب به طور کامل برای ارزیابی شبکه مورد استفاده قرار می‌گیرد.

مقایسه بهترین نتایج از هر سه شبکه در جدول (۲) آورده شده است. در شکل (۵) نیز مقادیر فشارخون اندازه‌گیری شده و نیز مقادیر تخمین‌زده شده توسط شبکه‌های عصبی در بهترین حالت برای مقایسه بهتر آورده شده‌اند. شکل (۵) نشان می‌دهد که شبکه پیش رو در بیش تر موارد نتوانسته است مقادیر فشارخون را به درستی و با اختلاف اندک تخمین بزند؛ این در صورتی است که شبکه RBF نتایج به مراتب بهتری عرضه می‌کند و جز در چند مورد بقیه مقادیر فشارخون را با اختلاف اندک تخمین زده است. در نهایت شبکه GRNN در  $10 = \text{Fold}$  (معادل هجده نفر به عنوان آموزش و دو نفر به عنوان آزمون) و  $\text{Spread} = 0.55$  کمترین میانگین و انحراف معیار خطا را فراهم کرده است. خطای این شبکه در بهترین حالت، در تخمین فشار سیستول  $0.11 \pm 1.8$  میلی‌متر جیوه و در تخمین فشار دیاستول  $0.15 \pm 2.3$  میلی‌متر بوده است.

با توجه به اینکه در توضیحات قبل مشخص شد که شبکه GRNN نتایج مناسبتری را ارائه می‌دهد، در جدول (۳) نتایج شبکه GRNN بازای دسته‌بندی‌های مختلف در روش cross-validation نشان داده شده است. اهمیت این جدول در این است که استقلال این روش از کالیبراسیون فردی و قدرت تعیین روش پیشنهادی در این پژوهش را نشان می‌دهد. در واقع هر یک از ردیف‌های این جدول مربوط به کنار گذاشتن دادگان یک سری از داوطلبان از مجموعه آموزشی شبکه

برای دست‌یابی به نتایج دقیق‌تر، دو شبکه عصبی شعاعی<sup>۱</sup> (RBF) و رگرسیون عمومی<sup>۲</sup> (GRNN) نیز مورد آزمون واقع شدند. این شبکه‌ها به دلیل تمرکز نورون‌ها بر محدوده عملکردی خاص از طریق توابع شعاعی اغلب دارای فرآیند یادگیری و آماده‌سازی سریع‌تری هستند. بهترین نتایج به دست آمده از این شبکه‌ها نیز در جدول (۲) نشان داده شده است.

### ۳- نتایج آزمایش‌ها

در این پژوهش دستگاهی برای اندازه‌گیری غیرت‌هاجمی فشارخون مبتنی بر روش فتوپلیسیموگرافی و با استفاده از دو حس‌گر نوری بر روی مج و انگشت دست طراحی و مورد آزمون قرار گرفت. از هر داوطلب چهار بازه سه‌دقیقه‌ای سیگنال PPG و چهار فشارخون معادل این بازه‌ها ثبت شد. پس از مراحل حذف نوفه و استخراج ویژگی، ماتریس ویژگی نهایی تعیین و به عنوان ورودی به شبکه تخمین‌گر داده شد.

برای انتخاب مدل تخمین‌گر مناسب به این نکته توجه شده است که در استاندارد دستگاه‌های فشارخون غیرت‌هاجمی<sup>۳</sup>، دستگاهی مطلوب خواهد بود که در چند اندازه‌گیری فشارخون، میانگین خطای کمتر از پنج میلی‌متر جیوه و انحراف معیار خطای کمتر از هشت میلی‌متر داشته باشد.

برای تخمین‌گر، شبکه عصبی پیش رو در کنار شبکه‌های RBF و GRNN مورد بررسی قرار گرفتند. با تغییر میزان انبساط و انقباض توابع شعاعی مورد استفاده (پارامتر Spread) در دو شبکه اخیر مصالحه‌ای بین قدرت تعیین‌پذیری و قدرت تفکیک این شبکه‌ها برای حصول به نتیجه مطلوب می‌توان به وجود آورد. در این پژوهش مقادیر مختلف Spread مورد بررسی قرار گرفته‌اند (جدول (۳)). مقدار مناسب برای پارامتر Spread به نحوی انتخاب شده است که شبکه در تخمین مقادیر فشارخون کل داده‌ها کمترین خطای را داشته باشد. همچنین یکی از اهداف این پژوهش، ارائه روشی بود که نتایج آن وابستگی به فرد نداشته باشند و به عبارت دیگر نیاز به کالیبراسیون فردی مرتکب شود. به این منظور لازم بود که خطای حاصل از استفاده از یک تخمین‌گر آموزش‌داده شده روی دادگان یک سری از افراد، روی داده فرد

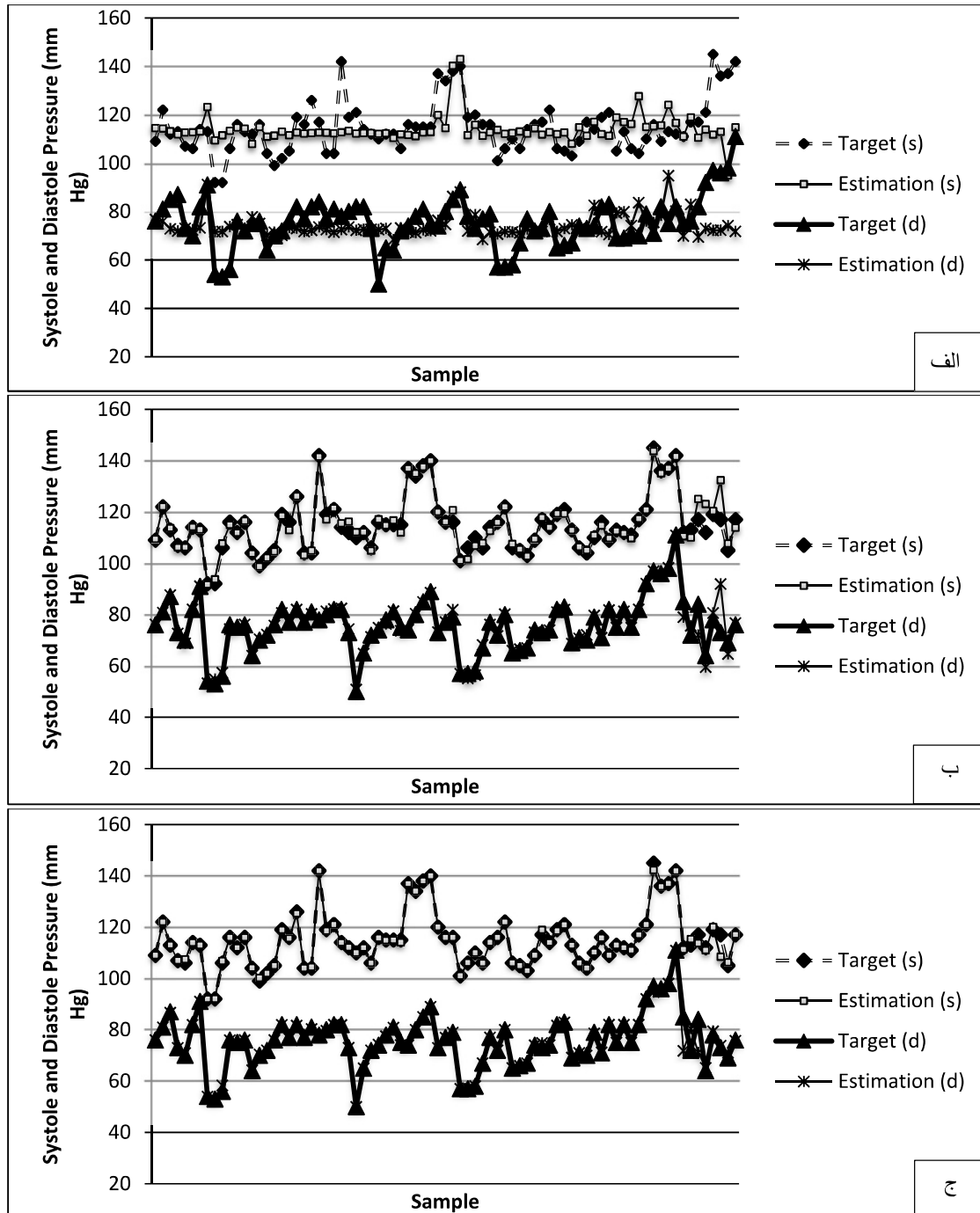
<sup>1</sup> Radial Basis Function Neural Network

<sup>2</sup> General Regression Neural Network

<sup>3</sup> AAMI SP10

بهتری حاصل خواهد شد و دوم این که حتی در بدترین شرایط نیز نتایج تخمین شبکه GRNN در محدوده موردنظر استاندارد دستگاه‌های اندازه‌گیری فشار غیرتهاجمی قرار می‌گیرد.

تخمین‌گر است. به عنوان مثال ردیف نخست ( $k\text{-fold}=2$ ) نشان می‌دهد که داوطلبان به دو قسمت تفکیک شده‌اند و بنابراین دادگان ده داوطلب به طور کامل برای آزمون شبکه کنار گذاشته شده‌اند. نتایج جدول (۳) و شکل (۶) نشان می‌دهد نخست این که هر چه تعداد دادگان آموزش بیشتر شود، نتایج



(شکل-۵): نمودار مقادیر فشار خون سیستول (Target (s)) و دیاستول (Target (d)) اندازه‌گیری شده و مقادیر تخمین‌زده شده فشار سیستول (Estimation (s)) و دیاستول (Estimation (d)) (توسط الف) شبکه عصبی Feedforward (ب) شبکه عصبی RBF و (ج) شبکه عصبی GRNN. نتایج نشان می‌دهد که شبکه عصبی GRNN به خوبی توانسته مقادیر هدف را دنبال کند و خطای نزدیک به صفر در تخمین نتایج داشته است.

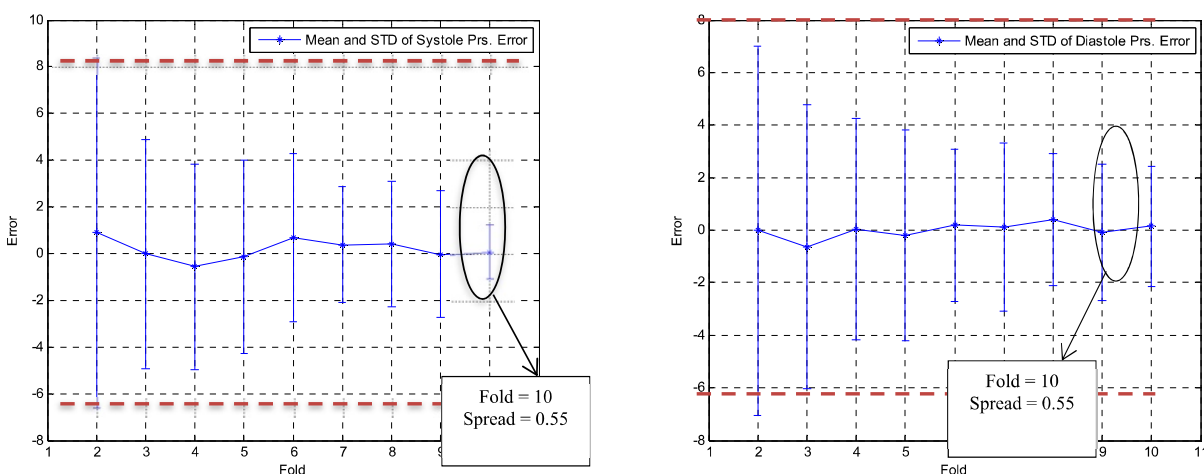
(Figure-5): The chart of Target and Estimated Systole and Diastole blood pressures : (Target(s)), (Target(d)), (Estimation(s)) and (Estimation(d)). These values were computed from a) Feedforward Neural Network, b) RBF Neural Network and c) General Regression Neural Network (GRNN). General Regression Neural Network has the best results.

فصل ۵

(جدول-۳) : مقادیر MSE محاسبه شده بین فشارخون Target و فشارخون تخمین زده شده توسط شبکه عصبی GRNN در Spread های مختلف

(Table-3): The Mean Square Error (MSE) computed for Estimated blood pressures obtained from General Regression Neural Network (GRNN) as a result of Spread changes

K-Fold	Optimum Spread	MSE (%)	Systole Pressure Error		Diastole Pressure Error	
			Mean	STD	Mean	STD
2	0.86	0.3	0.9	7.5	-0.02	7.04
3	0.7	0.8	-0.01	4.9	-0.63	5.4
4	0.7	0.17	-0.57	4.41	0.05	4.21
5	0.7	0.14	-0.15	4.14	-0.2	4.01
6	0.7	0.14	0.68	3.6	0.19	2.9
7	0.55	0.11	0.38	2.5	0.11	3.2
8	0.55	0.09	0.4	2.7	0.4	2.5
9	0.55	0.08	-0.03	2.7	-0.09	2.6
10	0.55	0.06	0.11	1.18	0.15	2.3



(شکل-۶): نمودار میانگین و انحراف معیار خطای تخمین مقادیر فشار سیستول (سمت راست)، بر حسب میلی متر جیوه. محور افقی مقادیر K در روش K-Fold Cross Validation (K-Fold = 10) نشان می دهد. در Spread = 0.55 بهترین نتیجه فراهم شده است. خطچین ها محدوده انحراف معیار مجاز در استاندارد AAMI SP10 را نشان می دهند.

(Figure-6): Mean and Standard Deviation values, which is computed between estimated and Target blood Pressures (the left hand Systole values and the right hand Diastole values) in mmHg. Horizontal axis demonstrated different K-Folds in K-Fold Cross validation method. The best result was computed in K-Fold=10 and Spread = 0.55. Dashed lines show Standard Deviation margins for computed errors, based on AAMI SP10 standard in safety and requirements of medical equipments.

غیرتهاجمی و کم حجم برای اندازه گیری فشارخون است. این دستگاه بمعلت نداشتن کاف و فرآیند پمپاژ هوا، در فواصل زمانی کوتاه تر از سایر دستگاه های غیرتهاجمی معمول، می تواند به کار گرفته شده و فشارخون را اندازه گیری کند که مزیتی در استفاده از آن است. بستن کاف به دور دست بیمار علاوه بر آزار بیمار، در استفاده طولانی مدت موجب آسیب عروق محل اندازه گیری فشار می شود. از این رو حذف آن از

#### ۴- بحث و نتیجه گیری

در این پژوهش، تخمین گری مناسب برای تخمین فشارخون (سیستول و دیاستول) با استفاده از هفده ویژگی مستخرج از مورفولوژی سیگنال PPG (جدول (۱)) و پارامتر PTT، پیشنهاد شد. صحت و دقیقت فشارخون تخمین زده شده (جدول (۲)), نشان دهنده ارتباط مستقیم و نزدیک سیگنال نبض با فشارخون و نیز پتانسیل این روش در ساخت دستگاه



- [5] YounessiHeravi Mohamad Amin, Khalilzade Mohamad Ali, "Designing and Constructing an Optical System to measure Continuous and Cuffless Blood Pressure Using Two Pulse Signals", *Iranian Journal of Medical Physics*, Vol. 10, no. 4 (2014): 215-223.
- [6] McCombie, Devin B., Andrew T. Reisner, and H. Harry Asada. "Adaptive blood pressure estimation from wearable PPG sensors using peripheral artery pulse wave velocity measurements and multi-channel blind identification of local arterial dynamics." In *Engineering in Medicine and Biology Society, 2006. EMBS'06. 28th Annual International Conference of the IEEE*, pp. 3521-3524. IEEE, 2006.
- [7] Shahabi Mina, Nafisi Vahid Reza, Pak Fateme, "Prediction of Intradialytic Hypotension Using PPG Signal Features", *22<sup>nd</sup> Iranian Conference on Biomedical Engineering*, Tehran, November 25-27, 2015.
- [8] خلیل زاده محمد علی، دوستدار نوقابی حجت، ارزیابی خونرسانی به بافت در ناحیه عضلات دوزنقه با تحلیل موجک سیگنال حجم سنجی نوری به کمک شبکه عصبی، پردازش عالم و داده‌ها، ۱۳۹۵، جلد ۱۳ (۲) : ۲۵-۳۳.
- [8] Khalilzade M A, DustdarNughabi H, "Evaluation of blood perfusion of the trapezius muscle with wavelet analysis of photoplethysmography signal using neural network", *JSDP*, 2016, vol. 13 (2):25-33.
- [9] شهابی مینا، پایان‌نامه کارشناسی ارشد، گروه مهندسی پزشکی، پژوهشکده برق و مخابرات، سازمان پژوهش‌های علمی و صنعتی ایران.
- [10] Wang, K. Q., L. S. Xu, L. Wang, Z. G. Li, and Y. Z. Li. "Pulse baseline wander removal using wavelet approximation." In *Computers in Cardiology*, 2003, pp. 605-608. IEEE, 2003.
- [11] Shahabi Mina, Nafisi Vahid Reza, Pak Fateme, "Prediction of Intradialytic Hypotension Using PPG Signal Features", *22<sup>nd</sup> Iranian Conference on Biomedical Engineering*, Tehran, November 25-27, 2015.
- [12] Shahabi Mina, Nafisi Vahid Reza, Pak Fateme, "Prediction of Intradialytic Hypotension Using PPG Signal Features", *22<sup>nd</sup> Iranian Conference on Biomedical Engineering*, Tehran, November

دستگاه اندازه‌گیری سبب سهولت استفاده از دستگاه توسط بیمار و کاربر خواهد بود، از طرفی استفاده از روش‌های استخراج ویژگی کارآمد در افزایش دقت نتایج اندازه‌گیری فشارخون تأثیرگذار خواهد بود. هر چه در مرحله تشخیص سیکل‌ها، پیک سیستول و محاسبه پارامتر PTT و سایر پارامترهای مرتبط از سیگنال PPG، از الگوریتم‌های توانمندتری استفاده شود، نتایج نهایی قابل اعتمادتر خواهد بود. با مقایسه نتایج پژوهش‌های مشابه در سال‌های اخیر و مقادیر خطای بدست‌آمده از آنها، به نظر می‌رسد در یک راستابودن حس‌گرهای ثبت سیگنال حائز اهمیت است و موجب بهبود نتیجه و روند تخمین مقادیر فشارخون خواهد شد.

در بسیاری از مطالعات نیاز به کالیبراسیون فردی برای حصول به نتایج دقیق در اندازه‌گیری مورد تأکید قرار گرفته است. در این پژوهش نیز ابتدا با فرض نیاز به انجام کالیبراسیون فردی، ثبت سیگنال PPG در حالت‌های مختلف فیزیولوژیک (حالت نشسته و ایستاده) انجام شد؛ اما از آنجا که در استفاده از روش cross validation در دسته‌بندی‌های مختلف، هر بار داده‌های چند داوطلب به‌طور کامل کنار گذاشته شده و با داده‌های دیگر داوطلبان، شبکه عصبی را آموزش داده‌ایم، نتایج حاصل نشان داد که مدل طراحی شده برای تخمین فشارخون، به علت داشتن پارامترهای متعدد از سیگنال PPG به داده‌های فرد حساس نیست و نیازی به کالیبراسیون فردی ندارد و این یک مزیت برای تخمین گر محسوب می‌شود.

## 5- References

- [1] Shelley, Kirk H. "Photoplethysmography: beyond the calculation of arterial oxygen saturation and heart rate." *Anesthesia & Analgesia* 105, no. 6 (2007): 31-36.
- [2] Alnaeb, Mohamad E., Nasser Aloabaid, Alexander M. Seifalian, Dimitri P. Mikhailidis, and George Hamilton. "Optical techniques in the assessment of peripheral arterial disease." *Current vascular pharmacology* 5, no. 1 (2007): 53-59.
- [3] Tamura, Toshiyo, Yuka Maeda, Masaki Sekine, and Masaki Yoshida. "Wearable photoplethysmographic sensors—past and present." *Electronics* 3, no. 2 (2014): 282-302.
- [4] Kamalzade Shiva, Thesis "PTT-Based Method for Noninvasive Beat-to-Beat Estimation of Systolic and Diastolic Blood Pressure", 2016.





مینا شهابی تحصیلات مقطع کارشناسی خود را در دانشگاه شاهد در رشته مهندسی پزشکی گرایش بالینی در سال ۱۳۹۰ و تحصیلات مقطع کارشناسی ارشد خود را در رشته مهندسی پزشکی گرایش

بیوالکتریک در سازمان پژوهش‌های علمی و صنعتی ایران و در سال ۱۳۹۵ به اتمام رساند. وی در حال حاضر در سازمان پژوهش‌های علمی و صنعتی ایران به عنوان پژوهش‌گر حوزه پردازش سیگنال‌های حیاتی همکاری می‌کند. سایر حوزه‌های پژوهشی مورد علاقه ایشان هوش مصنوعی و داده‌کاوی است.

[shahabi87\\_m@yahoo.com](mailto:shahabi87_m@yahoo.com)



وحیدرضا نفیسی تحصیلات خود را در مقطع دکترا در دانشگاه صنعتی امیرکبیر در رشته مهندسی پزشکی گرایش بیوالکتریک به اتمام رساند. از سال ۱۳۸۰ نیز به عنوان عضو هیئت علمی در سازمان پژوهش‌های

علمی صنعتی ایران مشغول به فعالیت بوده است. حوزه فعالیت ایشان ابزار دقیق (به خصوص در زمینه تجهیزات دیالیز و تنفس مصنوعی) و پردازش سیگنال‌های حیاتی است.

نشانی رایانمۀ ایشان عبارت است از:  
[vr\\_nafisi@irost.org](mailto:vr_nafisi@irost.org)

